

تحلیل همدیدی اثرهای سردچال در وقوع بارش‌های شدید در نواحی مرکز و جنوب غرب ایران

کمال امیدوار^{۱*}، فرشاد صفرپور^۲، مهدی محمودآبادی^۳، سعید الفتی^۴

۱- دانشیار اقلیم‌شناسی دانشگاه یزد، یزد، ایران

۲- دانشجوی کارشناسی ارشد اقلیم‌شناسی دانشگاه یزد، یزد، ایران

۳- دانشجوی کارشناسی ارشد اقلیم‌شناسی دانشگاه یزد، یزد، ایران

۴- دانشجوی کارشناسی ارشد اقلیم‌شناسی دانشگاه یزد، یزد، ایران

دریافت: ۸۸/۱۱/۱۲ پذیرش: ۸۹/۸/۱۲

چکیده

در این تحقیق، تأثیر سردچال‌ها را بر وقوع بارش‌های شدید در نواحی جنوب‌غرب و مرکز ایران، بررسی کرده‌ایم. بدین منظور، نخست پنج مورد از وقوع سردچال را از مرکز پیش‌بینی سازمان هواشناسی استخراج کردیم و سپس بدليل اختصار، موردی را که دارای بیشترین تأثیر در بارش منطقه مورد مطالعه بود (نهم تا سیزدهم آذر، ۱۳۸۷) بررسی و تحلیل کردیم. بدین منظور، ۲۱ ایستگاه هواشناسی واقع در جنوب غرب و مرکز ایران را برگزیدیم. برای تحلیل این پدیده از آمار بارش روزانه ایستگاه‌های واقع در جنوب غرب و مرکز کشور و همچنین نقشه‌های سطح دریا و سطوح ۵۰۰، ۳۰۰ و ۲۱۰ هکتوباسکال استفاده کردیم. پس از بررسی موقعیت جغرافیایی ایستگاه‌های مورد مطالعه، نقشه‌های هوای داده‌های بارش روزانه ایستگاه‌های سینوپتیک منطقه را به کار گرفتیم؛ همچنین برای تعیین شدت ناپایداری‌ها، شاخص‌های ناپایداری Si و Ki را در ایستگاه‌های شیراز و اهواز بررسی کردیم. آرایش الگوی همدیدی و روند آن در نقشه‌های هوایی یک دوره انتخابی پنج روزه بررسی شده است. نتایج مطالعه نشان می‌دهد که عامل اصلی ایجاد بارش‌های شدید در منطقه مورد مطالعه، نفوذ و استقرار سامانه پرفشار سبیری و تشکیل سردچال وسیع بر روی جنوب دریای خزر و مرکز ایران بوده است. در همین زمان، سامانه‌های ناپایدار غربی در برخورد با این سردچال، تغییرمسیر داده و به سمت عرض‌های پایین‌تر منتقل شده‌اند؛ درنتیجه، سامانه‌های غربی با حرکت از روی آبهای جنوبی کشور، رطوبت زیادی را کسب کرده و از سمت جنوب غرب به داخل کشور نفوذ کرده‌اند و در استان‌های جنوب غربی و مرکزی، بارش‌های قابل توجهی را پدید آورده‌اند.

واژه‌های کلیدی: تحلیل همدید، سردچال، بارش، نواحی مرکزی، جنوب غرب، ایران.

* نویسنده مسئول مقاله:

E-mail: Komidvar@yazd.ac.ir



۱- مقدمه

کشور ایران به دلیل موقعیت خاص جغرافیایی، از آب و هوای متنوعی برخوردار است. بارش‌های سالانه‌ی اندک با نوسان‌های شدید، رگباری و کوتاه‌مدت بودن، از ویژگی‌های بارز رژیم بارش‌ها در ایران است (علیجانی، ۱۳۸۱: ۲). به علت نوسان‌های آب و هوایی و همچنین اهمیت منطقه‌های جنوب غرب و مرکز کشور از لحاظ کشاورزی و داشتن رودخانه‌ها و سرشاره‌های مهم، شناسایی چگونگی و سازوکار بارش‌ها در این منطقه‌ها ضروری است.

سردچال یا کم‌فشار بریده^۱، فروودی است که در شاخص مداری از جریان اصلی بادهای غربی بریده شده و به صورت یک کمارتفاع پر از هوای سرد، در منطقه گرم جنوب بادهای غربی قرار می‌گیرد و ناپایداری ایجاد می‌کند. سردچال، مانند موج‌های کوتاه در ناحیه زیرین خود ناپایداری به وجود می‌آورد و چون بیشتر اوقات، در یک منطقه ساکن می‌ماند، به بارش‌های درازمدت منجر می‌شود (کاویانی و علیجانی، ۱۳۷۹: ۳۰۱). در ایران، این پدیده‌ها به‌ندرت ایجاد می‌شود؛ ولی در صورت وقوع، بارش‌های زیادی را همراه دارد.

در برآرث تأثیر گردش‌های جوی بر وقوع بارش و الگوهای آن در منطقه‌های مختلف جهان، مطالعات زیادی انجام شده است: فایرس (۱۹۸۸: ۹۹-۱۱۹) نوع آب و هوای را با استفاده از بارش روزانه ماه ژانویه در دریاچه چارلز لویز تحلیل همدیدی کرده است؛ کیبلس (۱۹۸۹: ۱۲۸۹) با استفاده از نقشه‌های سطح هفت‌صد هکتوپاسکال، توزیع حداکثر بارش را طی ماه‌های ژوئن و سپتامبر در منطقه بی‌موdal بررسی کرده است؛ بلترامدو و کمبرلین (۱۹۹۳: ۵۳۳-۵۴۶) ارتباط گردش‌های جوی و تغییر در بارش‌های سالانه را در منطقه سومالی مطالعه کرده‌اند و بین این بارش‌ها و فشار در روی اقیانوس هند، همبستگی مثبتی دریافت‌اند؛ وانگ و همکاران (۲۰۰۹: ۴۷۱-۴۷۹) تغییرهای سیکلون‌های برون حاره را در آسیای شمال شرقی با استفاده از الگوهای سینوپتیک بررسی کرده‌اند؛ همچنین دلدن و همکاران (۲۰۰۱: ۸۹-۱۱۰) با توجه به الگوهای سینوپتیک، وضعیت سینوپتیک طوفان‌های تندri را در غرب اروپا بررسی کرده‌اند؛ هومار و همکاران (۲۰۰۱: ۳۱-۵۵) همدیدی و متوسط مقیاس رخداد ترنداد را در جزایر باله‌آریک

1. Cut-off Low

شناسایی کردند؛ کوداما و بارنز (۱۹۹۷: ۳۶۷-۳۴۷) حادثه بارش سنگین روی دامنه‌های جنوبی هاوایی را با استفاده از الگوهای سینوپتیک بررسی کردند و یوما (۱۹۹۸: ۸۹-۱۱۲) رخداد بارش سنگین در جنوب چین را با استفاده از الگوهای جوی مطالعه کردند.

در حوزه بررسی همدیدی گردش‌های جوی و ارتباط آن با وقوع بارش در ایران می‌توان این پژوهش‌ها را نام برد: تأثیر نوسانات پرفشار جنب‌حراء‌ای در تغییر فصل ایران (حجازی‌زاده، ۱۳۷۲: ۳۵)، بلوکینگ و اثر آن بر بارش‌های ایران (عزیزی، ۱۳۷۵)، بررسی همدید نقش دریای سیاه بر بارش ایران (مفیدی، ۱۳۷۹) و بررسی پراکندگی مکانی و زمانی بارش ایران نسبت به عوامل همدید ایجاد‌کننده آن (عربی، ۱۳۸۵: ۱۰-۱۵)؛ علاوه بر اینها خوشحال دستجردی (۱۳۷۶) الگوهای همدیدی- کلیماتولوژی بارش‌های بیش از صد میلی‌متر را در سواحل جنوبی دریای خزر بررسی و تحلیل کرده است؛ مفیدی و زرین (۱۳۸۴: ۱۱۳-۱۳۶) با بررسی الگوهای گردش ترازهای ۵۰۰، ۸۵۰، ۲۰۰، و ۵۰ هکتوپاسکال و سطح زمین، الگوهای همدید هجدۀ طوفان با منشأ سودانی را بررسی کردند؛ حبیبی (۱۳۸۵: ۶۹-۸۹) نیز نقش سامانه‌های بندالی در چرخندزایی روی دریای مدیترانه و اثر آنها را در سیل سال دوهزار میلادی در غرب ایران مطالعه کرده است.

هدف از این تحقیق، بررسی تأثیر سردچال‌ها بر بارش‌های مناطق جنوب غرب و مرکز کشور و تعیین منابع و مسیر رطوبت این بارش‌ها طی سه سال اخیر (۱۳۸۹ تا ۱۳۸۷)، به‌ویژه آذر ۱۳۸۷، با استفاده از الگوهای جوی سطح زمین و تراز بالای جوی می‌باشد (جدول ۱). در پژوهش حاضر، با ترسیم نقشه‌های همدید مربوط به متغیرهای مختلف داده‌های جوی بالا، در زمان روی‌دادن بارش شدید در منطقه مورد مطالعه، کوشیده‌ایم عوامل پویا^۱ و دما پویای^۲ به وجودآورندۀ این رویداد را شناسایی و تبیین کنیم. گفتنی است که تأثیر پدیده سردچال بر بارش‌های مناطق جنوب غرب و مرکز ایران، کمتر بررسی شده و در این تحقیق، برای نخستین بار این پدیده را بررسی کردہ‌ایم.

1. Dynamic
2. Thermodynamic



جدول ۱ بارش رخداده دراثر پدیده سردچال در ایستگاههای جنوب غرب و مرکز کشور طی سه سال اخیر

| مجموع بارش در محدوده زمانی فعالیت سردچال (میلی‌متر) | | | | | ایستگاه |
|---|--------------------------|---------------------------|----------------------------|-------------------------|------------|
| ۸۹/۲/۱۲ تا ۸۹/۲/۱۷ | ۸۸/۹/۱۸ تا ۸۸/۹/۲۲ | ۸۷/۱۲/۵ تا ۸۷/۱۲/۱۰ | ۸۷/۱۱/۱۱ تا ۸۷/۱۱/۱۴ | ۸۷/۹/۹ تا ۸۷/۹/۱۳ | |
| ۷/۳ | ۰/۵ | ۱۴/۴ | ۱۱/۴ | ۴/۹۲ | شیراز |
| ۲۶/۳ | ۷/۹ | ۳۰ | ۵۵/۴ | ۶۳/۷ | یاسوج |
| ۱/۴ | ۰/۵ | ۰/۱ | ۷/۱ | ۱۳/۸ | اهواز |
| ۱۳ | ۰/۳ | ۱/۹ | ۱۲/۸ | ۳۱/۹ | رامهرمز |
| ۱/۲ | ۲/۵ | ۰/۲ | ۱۰/۱ | ۲۸ | آبادان |
| ۴۹ | ۱۰/۱ | ۵/۱ | ۲۹/۷ | ۴۶/۷ | مسجدسلیمان |
| ۰/۴ | ۲/۲ | ۱۸/۸ | ۲۰/۶ | ۳۰/۵ | شهرکرد |
| ۴۵/۷ | ۲۳ | ۵۲/۸ | ۸۸/۱ | ۶۱/۴ | کوهزنگ |
| ۰/۱ | ۲/۶ | ۹ | ۱۴ | ۱۸/۲ | بروجن |
| ۰/۳ | ۱۴/۵ | ۰/۱ | ۰/۴ | ۱۴/۵ | بندر دیر |
| ۰/۲ | ۰ | ۰/۱ | ۲/۱ | ۳۱ | بوشهر |
| ۲۴/۸ | ۱/۲ | ۳۱/۱ | ۳۳/۳ | ۳۴/۳۱ | سمیرم |
| ۷/۲ | ۰ | ۱۷/۷ | ۸/۹ | ۲۰/۸ | اقلید |
| ۱/۱ | ۱۳/۴ | ۴/۲ | ۱ | ۱۸/۰۱ | کرمان |
| ۲ | ۱/۲ | ۰ | ۰ | ۱۶/۴ | انار |
| ۲/۱ | ۶۲/۴ | ۲۸/۶ | ۰ | ۱۳ | بافت |
| ۶/۵ | ۶/۱ | ۸/۱ | ۲/۳ | ۱۲/۵ | کاشان |
| ۰ | ۳/۹ | ۱ | ۰/۲ | ۳۵/۴ | بزد |

۲- داده‌ها و روش‌شناسی

در این پژوهش‌ها، نخست وضعیت اقلیمی و نقشه‌برداری منطقه را بررسی کردیم و سپس براساس آن، برای داشتن پوششی نسبتاً کامل از بارش‌های منطقه و اطلاعات دقیق‌تر، ویژگی‌های بیشتر ایستگاه‌های سینوپتیک و باران‌سنگی را تهیه کردیم (جدول ۲ و شکل ۱). براساس بررسی‌های انجام‌شده ازین تاریخ‌های استخراج شده، وقوع پدیده سردچال، به‌دلیل بارش‌های قابل ملاحظه به‌ویژه در مناطق مرکزی و از تاریخ نهم آذر ۱۳۸۷ را بررسی و تحلیل کردیم. داده‌های

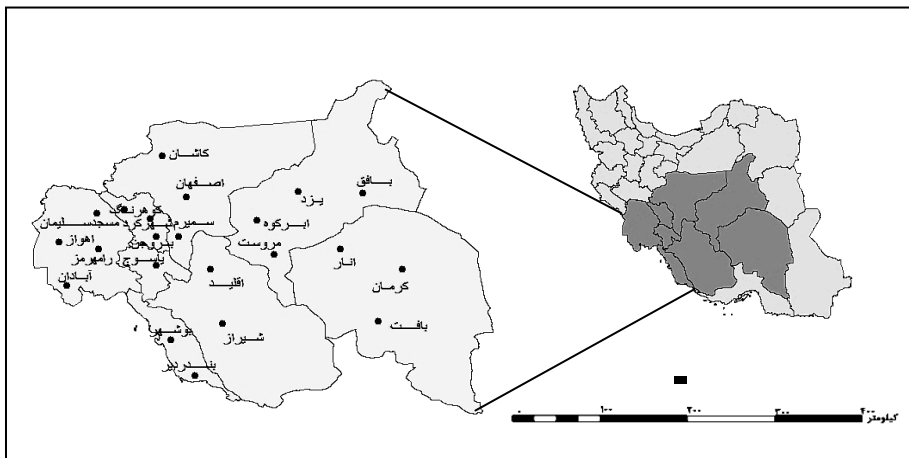
جوی لازم برای این پژوهش را از پایگاه داده‌های NCEP/NCAR و آمار بارش را از سازمان هواشناسی تهیه کردیم؛ همچنین برای تحلیل الگوی همدیدی بارش، نقشه‌های وضع هوای سطح دریا و سطوح فوقانی جو (۵۰۰ و ۳۰۰ هکتوپاسکال) مرتبط با آن را در ساعت‌های صفر و دوازده به وقت گرینویچ، از یک روز قبل از وقوع بارش تا روزهای رخدادن بارش، از مرکز ملی پیش‌بینی‌های محیطی (NCEP) استخراج و استفاده کردیم.

جدول ۲ مشخصات ایستگاه‌های سینوبتیک و میزان بارش ۲۴ ساعته در منطقه مورد مطالعه

| ایستگاه (میلیمتر) | جمع بارش روز ۸۷/۹/۱۳ | بارش روز ۸۷/۹/۱۲ | بارش روز ۸۷/۹/۱۱ | بارش روز ۸۷/۹/۱۰ | بارش روز ۸۷/۹/۹ | عرض (شمالی) بارش روز ۸۷/۹/۹ | طول (شرقی) | | | | ارتفاع (متر) |
|----------------------|----------------------------|------------------------|------------------------|------------------------|-----------------------|-----------------------------------|------------|-------|------|-------|-----------------|
| | | | | | | | درجہ | دقیقه | درجہ | دقیقه | |
| شیراز | ۴/۹۲ | ۰ | ۰ | ۴/۹ | ۰/۰۱ | ۰/۰۱ | ۲۹ | ۳۲ | ۵۲ | ۳۶ | ۱۴۸۴ |
| یاسوج | ۷۳/۷ | ۰ | ۰ | ۵۳/۳ | ۱۰/۴ | ۰ | ۳۰ | ۵۰ | ۵۱ | ۴۱ | ۱۸۳۱ |
| اهواز | ۱۳/۸ | ۰ | ۰ | ۰/۳ | ۱۳/۴ | ۰/۱ | ۲۰ | ۳۱ | ۴۸ | ۴۰ | ۲۲۰۵ |
| رامهرمز | ۳۱/۹ | ۰ | ۰ | ۷/۱ | ۲۵/۸ | ۰ | ۳۱ | ۱۶ | ۴۹ | ۳۴ | ۱۳۴ |
| آبادان | ۲۸ | ۰ | ۰ | ۰ | ۲۸ | ۰ | ۲۲ | ۳۰ | ۴۸ | ۱۵ | ۷۶ |
| مسجدسلیمان | ۴۶/۷ | ۰ | ۰ | ۱۵/۷ | ۳۱ | ۰ | ۳۱ | ۵۶ | ۴۹ | ۱۹ | ۴۳۸ |
| شهرکرد | ۳۵/۵ | ۰/۰۱ | ۰ | ۳۰/۹ | ۴/۶ | ۰ | ۳۲ | ۱۷ | ۵۰ | ۵۱ | ۲۰۴۸ |
| کوهزنگ | ۶۱/۴ | ۰ | ۰ | ۳۰ | ۳۱/۴ | ۰ | ۳۲ | ۲۷ | ۵۰ | ۵۴ | ۱۹۴۶ |
| بروجن | ۱۸/۲ | ۱ | ۰ | ۱۷/۸ | ۰/۴ | ۰ | ۳۱ | ۵۷ | ۵۱ | ۱۸ | ۲۱۹۷ |
| بندر دیر | ۱۴/۵ | ۰ | ۰ | ۱۴/۵ | ۰ | ۰ | ۲۷ | ۵۰ | ۵۱ | ۵۶ | ۴ |
| بوشهر | ۳۱ | ۰ | ۰ | ۳۰/۵ | ۰/۰ | ۰ | ۲۸ | ۰۹ | ۵۰ | ۵۰ | ۱۹/۶ |
| سمیرم | ۲۴/۳۱ | ۰ | ۰ | ۳۴/۳ | ۰/۰۱ | ۰ | ۳۱ | ۲۴ | ۵۱ | ۳۴ | ۲۳۸۷ |
| اقلید | ۲۰/۸ | ۰ | ۱۷ | ۳/۸ | ۰ | ۰ | ۳۰ | ۵۴ | ۵۲ | ۳۸ | ۲۳۰۰ |
| کرمان | ۱۸/۰۱ | ۱۱/۳ | ۷/۲ | ۰/۰۱ | ۰ | ۰ | ۳۰ | ۱۶ | ۵۷ | ۳ | ۱۷۵۹ |
| انار | ۱۶/۴ | ۰/۴ | ۱۵/۴ | ۰/۶ | ۰ | ۰ | ۳۰ | ۵۲ | ۵۰ | ۱۶ | ۱۴۰۷ |
| یافت | ۱۳ | ۲/۶ | ۹/۷ | ۰/۷ | ۰ | ۰ | ۲۹ | ۱۳ | ۵۶ | ۳۶ | ۲۲۶۶ |
| کاشان | ۱۳/۵ | ۰/۲ | ۷/۱ | ۷/۲ | ۰ | ۰ | ۳۳ | ۰۹ | ۵۱ | ۲۶ | ۹۴۰ |
| ابرکوه | ۸/۸ | ۰/۷ | ۳/۱ | ۰ | ۰ | ۰ | ۳۰ | ۳۱ | ۰۳ | ۲۹ | ۹۲۷ |
| یافق | ۱۴ | ۸/۷ | ۵/۳ | ۰ | ۰ | ۰ | ۳۱ | ۲۸ | ۰۳ | ۳۹ | ۸۴۵ |
| بیزد | ۳۵/۴ | ۲۳/۲ | ۷/۶ | ۳/۴ | ۱/۲ | ۰ | ۳۱ | ۴۰ | ۰۴ | ۴۳ | ۹۰۰ |
| مروست | ۱۶/۳ | ۸/۶ | ۵/۴ | ۲/۳ | ۰ | ۰ | ۲۹ | ۳۵ | ۰۳ | ۵۱ | ۱۰۵۰ |
| مجموع بارش روزانه | | | | | | | | | | | |
| | ۵۴۰/۶۴ | ۶۱/۷۱ | ۷۷/۸ | ۲۵۵/۳۱ | ۱۵۴/۸۲ | ۰/۱۱ | | | | | |



برای به دست آوردن میزان ناپایداری در روزهای مورد مطالعه، شاخص های Si و Ki را در ایستگاه های شیراز و اهواز محاسبه کردیم. شایان ذکر است که اساس شاخص شولتر (Si) بر رابطه بین دمای خشک و نقطه شبنم تراز ۸۵۰ هکتوپاسکال و دمای خشک تراز پانصد هکتوپاسکال استوار است. اگر مقدار این شاخص بین سه تا یک باشد، احتمال ناپایداری وجود دارد؛ اگر بین ۱ تا (۳) باشد، احتمال ناپایداری بیشتر می شود و اگر کمتر از (۳) باشد، شدت ناپایداری افزایش می یابد. شاخص ناپایداری Ki بر مبنای روش ویتنگ و براساس اطلاعات کاوش گر جو بالا محاسبه می شود. اگر مقدار عددی این شاخص کمتر از بیست باشد، ناپایداری کم و اگر بیشتر از بیست باشد، ناپایداری شدید اتفاق می افتد؛ بدین ترتیب، روند آرایش الگوی سینوپتیک سامانه های فشار طی پنج روز متوالی و نقشه های وضع هوا در سطوح مختلف جو را تجزیه و تحلیل کرده ایم؛ علاوه بر این، داده های روزانه عناصر اقلیمی، شامل رطوبت نسبی و بارش در کلیه ایستگاه ها از روز نهم تا سیزدهم آذر را از روی گزارش های اصلی ایستگاه ها استخراج کردیم. درمجموع، این آمار و اطلاعات برای ساعت های صفر و ۱۲ به وقت گرینویچ در چهار روز آخر بررسی شد؛ همچنین با استفاده از نرم افزار Grads، نقشه هایی از تراز های مختلف جو (نقشه وزش رطوبتی، امگا، چرخندگی، ارتفاع رئوپتانسیل، فشار سطح دریا و رودباد) را برای روزهای بارش ترسیم کردیم و سپس با توجه به الگوهای همدید و میزان بارش، نقشه های توزیع بارش روزهای مورد بررسی در محیط GIS را با استفاده از روش IDW کشیدیم.



شکل ۱ موقعیت منطقه مورد مطالعه و توزیع جغرافیایی ایستگاه های انتخاب شده در آن

۳- تحلیل داده‌ها

در جدول ۱، بارش‌های ناشی از پدیده سردچال در دوره مورد مطالعه (۱۳۸۹-۱۳۸۷) مشاهده می‌شود. با توجه به این جدول، بیشترین بارش‌های ناشی از این پدیده، در آذر ۱۳۸۷ رخ داده است و در این مطالعه، علت‌های وقوع آنها را بررسی می‌کنیم. با توجه به جدول ۲، در نواحی جنوب غرب، بارش‌های زیاد در تاریخ‌های دهم و یازدهم آذر اتفاق افتاده و با حرکت سامانه‌های غربی به طرف شمال شرق، بیشتر بارش‌های استان‌های یزد و کرمان در تاریخ دوازدهم و سیزدهم آذر رخ داده‌اند. برای مشخص شدن علت‌های همدیدی این رخداد و به لحاظ اختصار، الگوهای جوی و رفتار آنها از تاریخ نهم آذر ۱۳۸۷ (۲۹ نوامبر ۲۰۰۸) و نقشه‌های ساعت صفر به وقت گرینویچ را بررسی کرده‌ایم.

جدول ۳ مقایسه مجموع بارش در روزهای نهم تا سیزدهم آذر با مجموع بارش ماه آذر ۱۳۸۷ به میلی‌متر در منطقه مورد مطالعه

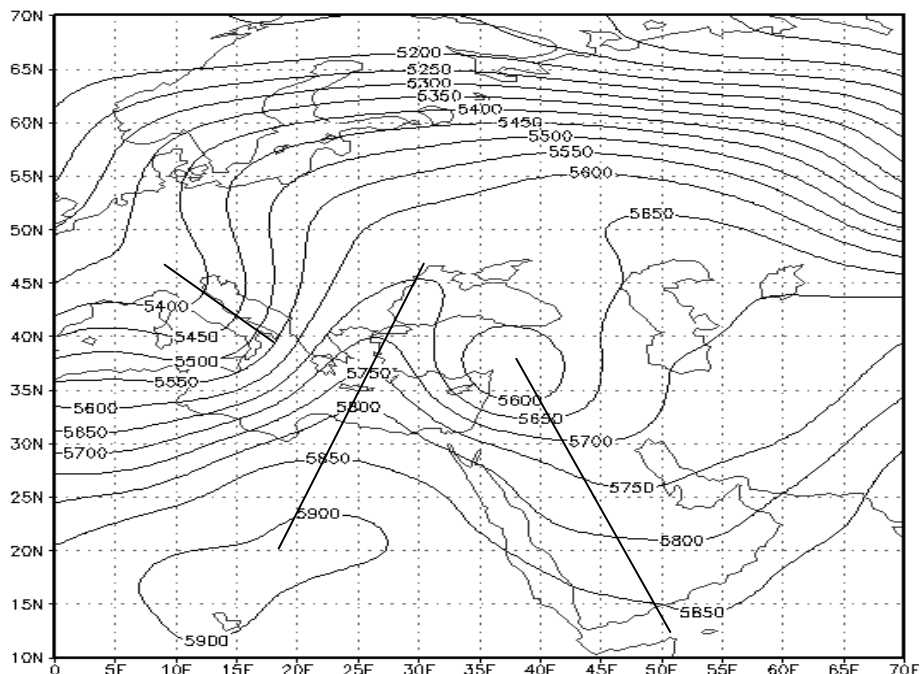
| یاسوج | یزد | سمیرم | بوشهر | شهرکرد | کوهنگ | مسجد سلیمان | ایستگاه مولقه |
|-------|------|-------|-------|--------|-------|-------------|---|
| ۶۳/۷ | ۳۵/۴ | ۳۴/۳ | ۳۵/۵ | ۳۰/۹ | ۶۱/۴ | ۴۷/۷ | بارش دوره موردمطالعه |
| ۷۹/۹ | ۳۹/۷ | ۴۰ | ۴۱/۵ | ۳۷/۳ | ۹۲/۵ | ۴۹/۷ | مجموع بارش ماه آذر |
| ۹۱/۱ | ۸۹/۱ | ۸۵/۷ | ۸۵/۵ | ۸۵/۱ | ۶۶/۳ | ۹۳/۹ | نسبت بارش موردمطالعه به میانگین ماه آذر به درصد |

۳-۱- یک روز قبل از شروع بارش‌ها (نهم آذر ۱۳۸۷)

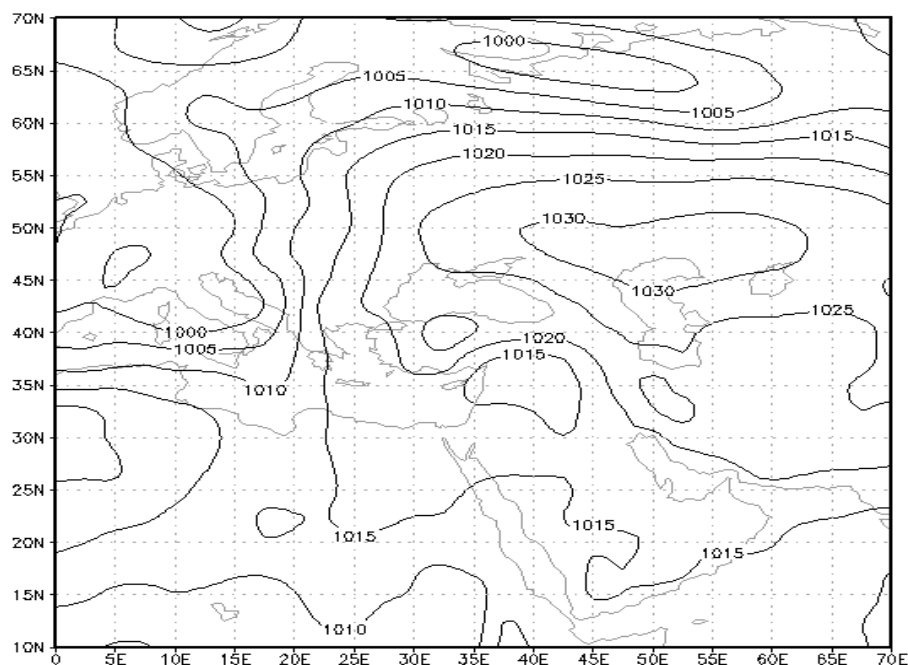
در نقشه سطح پانصد هکتوپاسکال این روز (شکل ۲) می‌بینیم که مرکز کم ارتفاع بسته (۵۶۰۰ ژئوپتانسیل متر) در غرب عراق واقع شده است. این مرکز کم ارتفاع، مانند مانعی در مسیر حرکت فرودبادهای غربی قرار گرفته و آن را در شرق دریای مدیترانه به دو شاخه تقسیم کرده است. شاخه‌ای از این ناوه به طرف شمال دریای خزر به حرکت درآمده و شاخه‌ای که به سمت جنوب حرکت کرده، در حال عبور از روی دریای سرخ و



سرزمین عربستان است. در نقشه فشار سطح دریا (شکل ۳)، پرفشار ۱۰۲۰ هکتوپاسکال در شمال دریای خزر دیده می‌شود که بخش وسیعی از ایران را تحت تأثیر قرار داده و پربند ۱۰۲۰ هکتوپاسکال آن تا مرکز و نیمه جنوبی کشور کشیده شده است. استقرار همین پرفشار باعث می‌شود جریان‌های جنوبی نتوانند به خوبی وارد ایران شوند؛ در نتیجه، بیشتر قسمت‌های کشور دارای هوایی پایدار و بدون بارش می‌باشد. در این روز، کم‌فشار ۱۰۱۰ هکتوپاسکال در جنوب دریای سرخ تشکیل می‌شود و پربند ۱۰۱۵ هکتوپاسکال آن تا نواحی جنوب غرب ایران امتداد می‌یابد.



شکل ۲ ارتفاع ژئوپتانسیل تراز پانصد هکتوپاسکال، تاریخ ۱۳۸۷/۹/۹ (ساعت: ۰۰)



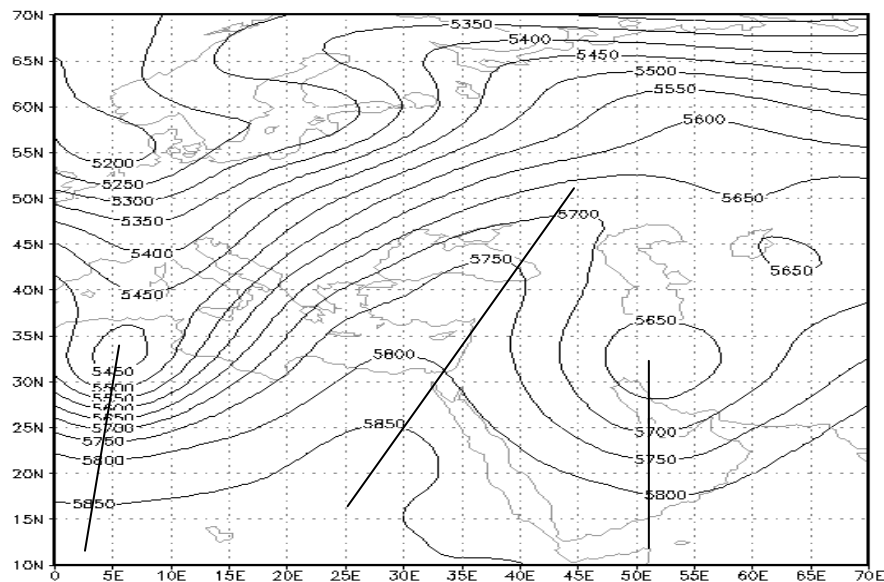
شکل ۳ نقشهٔ فشار سطح دریا، تاریخ ۱۳۸۷/۹/۹ (ساعت: ۰۰)

۲-۳- روز شروع بارش (دهم آذر ۱۳۸۷)

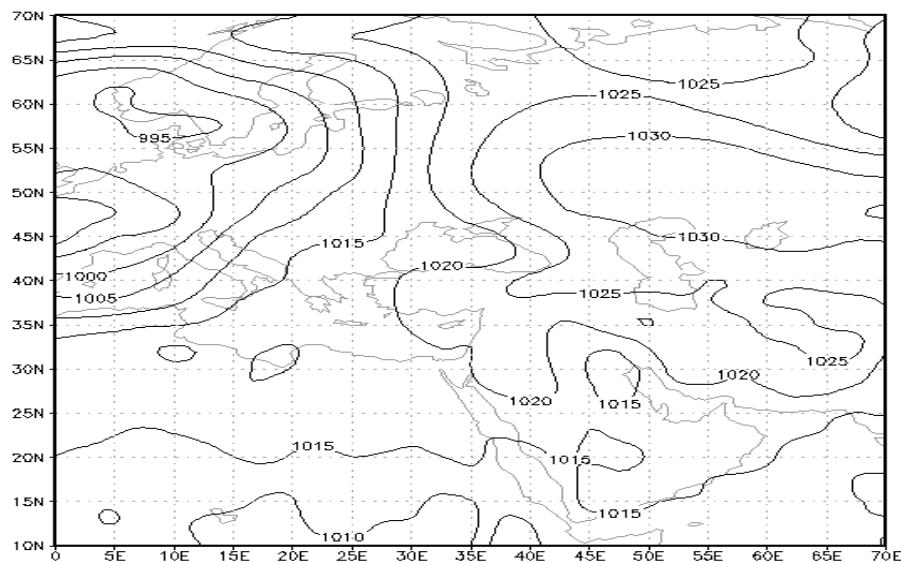
در این روز، ناوه عمیقی که روز قبل بر روی مدیترانه تشکیل شده بود، به طرف شرق حرکت کرده و تا غرب ایران پیش رفته است. در روز قبل، این سامانه در روی شرق دریای مدیترانه، دو شاخه شده بود شاخه جنوبی آن از روی آب‌های جنوبی کشور عبور کرده و از سمت جنوب غرب و جنوب وارد ایران شده است (شکل ۴). در همین زمان، با نفوذ بیشتر کم‌فشار مستقر در غرب و جنوب ایران، پرفشار ۱۰۲۵ هکتوپاسکال به طرف مرکز و شمال شرق کشور عقب‌نشینی کرده و زمینه را برای بارش‌های نیمة جنوبی و نواحی جنوب غرب کشور فراهم کرده است. پرفشاری که روز قبل بر روی ایران تشکیل شده بود، در این روز باعث ریزش هوای سرد شده و از حرکت سریع کم‌فشار مستقر بر روی عربستان و جنوب غرب ایران جلوگیری کرده است (شکل ۵).



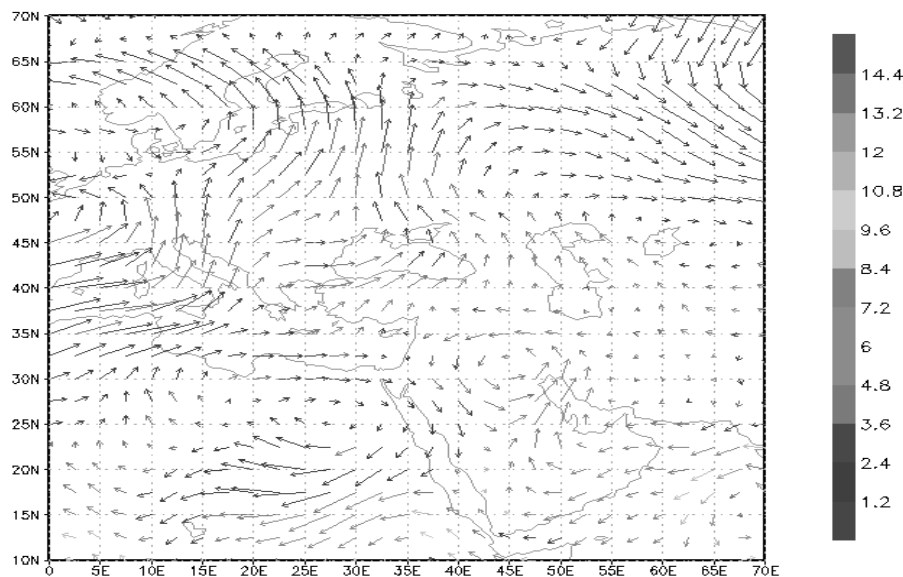
نقشه وزش رطوبتی تراز ۸۵۰ هکتوپاسکال در این روز (شکل ۶)، یک حرکت واچرخندی را بر روی جنوب عربستان نشان می‌دهد. این واچرخند باعث گردش هوا از روی خلیج عدن و جنوب دریای سرخ شده و رطوبت آن مناطق را از طریق مرکز عربستان به سمت خلیج فارس و نواحی جنوب غرب ایران آورده است. شاهد این فرایند، زبانه مرطوبی است که از جنوب شرق دریای سرخ با جهت شمال شرقی به سوی خلیج فارس در حال حرکت می‌باشد. در روز دهم آذر، هسته پرسرعت ۴۵ متر بر ثانیه (سطح سیصد هکتوپاسکال) در شمال شرق دریای سرخ قرار گرفته و زبانه‌های آن از طرف خلیج فارس و با جهت شمال غربی-جنوب شرقی وارد ایران شده است؛ هسته پرسرعت دیگری نیز بر روی دریای عمان واقع شده که درجه شمال شرقی-جنوب غربی در حرکت است (شکل ۸). نقشه امگای تهیه شده برای این روز، ناپایداری را در بخش‌های غربی منطقه مطالعه نشان می‌دهد. همان طور که می‌بینیم، نقشه امگا از پدیده سردچال پیروی می‌کند؛ به طوری که در طول جغرافیایی ۳۹ درجه شرقی (منطقه NVA سردچال)، یک هسته نزول هوا و در طول جغرافیایی پنجاه درجه شرقی (منطقه PVA سردچال)، یک هسته صعود تشکیل شده است؛ به علاوه، یک هسته صعود نیز در جنوب عربستان شکل گرفته است (شکل ۹). با توجه به نقشه چرخندگی مربوط به این روز می‌توان چرخندگی منفی یا آنتی‌سیکلونی را در غرب دریای سرخ و چرخندگی مثبت یا سیکلونی را در شرق دریای سرخ، مناطق غربی خلیج فارس و روی عراق دید. چرخندگی مثبت باعث ایجاد ناهنجاری در مناطق جنوب شرق گردیده؛ ولی هنوز وارد ایران نشده است (شکل ۱۰). در این روز، شاخص Si عدد صفر و شاخص Ki عدد ۲۵ را نشان دادند که هردو بیانگر ناپایداری هستند. نقشه توزیع بارش در این روز نیز نشان می‌دهد که بیشینه بارش در نواحی جنوب غرب بوده و سامانه هنوز به نواحی مرکزی ایران نرسیده است؛ به طوری که ایستگاه‌های رامهرمز $25/8$ میلی‌متر، مسجدسلیمان ۳۱ میلی‌متر، آبادان ۲۸ میلی‌متر و کوهرنگ $4/31$ میلی‌متر بارش داشته‌اند (شکل ۷).



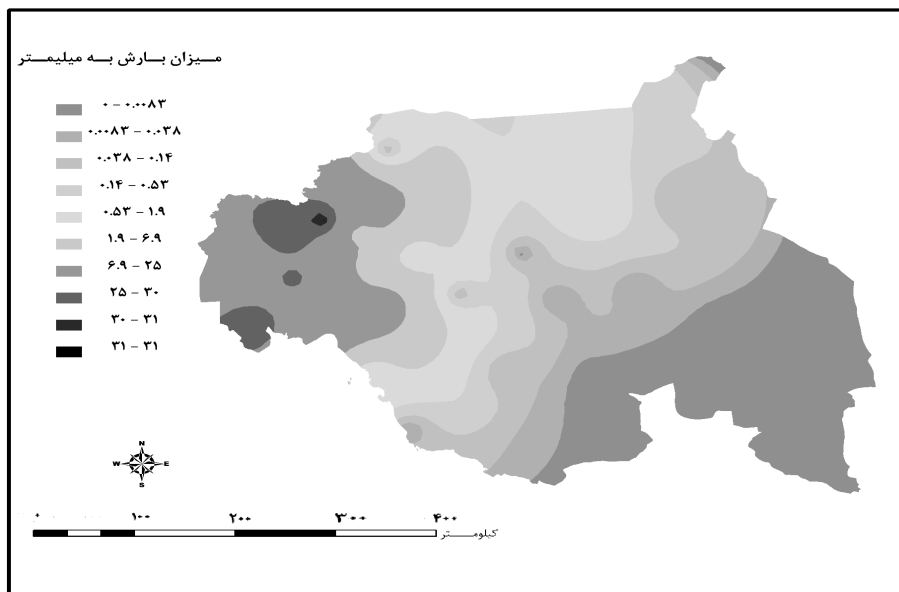
شکل ۴ ارتفاع ژئوپتانسیل تراز پانصد هکتوپاسکال، تاریخ ۱۳۸۷/۹/۱۰ (ساعت: ۰۰)

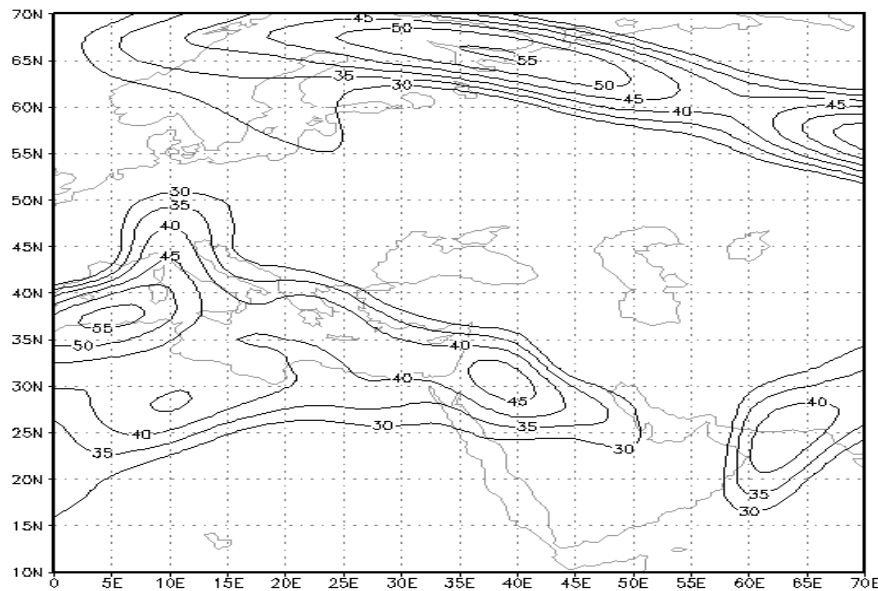


شکل ۵ فشار سطح دریا، تاریخ ۱۳۸۷/۹/۱۰ (ساعت: ۰۰)

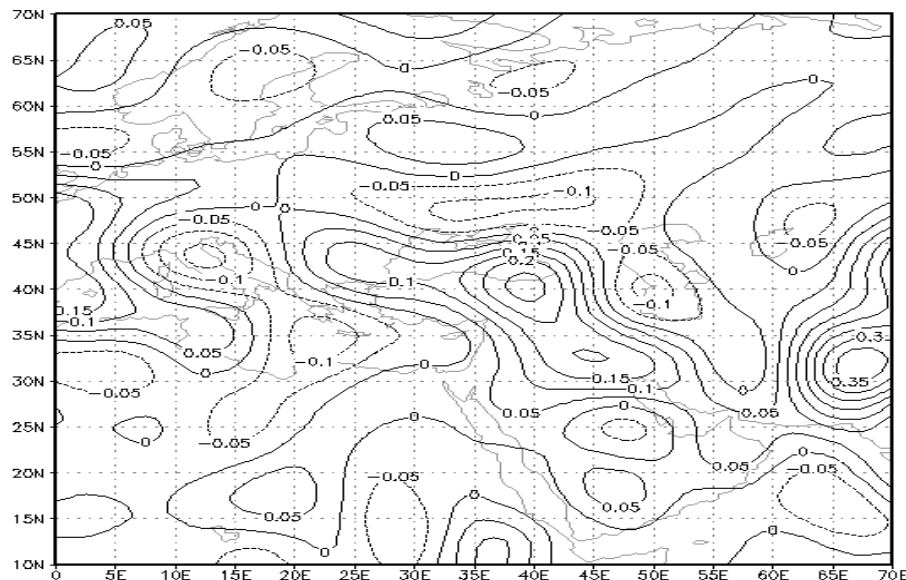


شکل ۶ وزش رطوبتی تراز ۸۵۰ هكتوپاسکال، تاريخ ۱۳۸۷/۹/۱۰ (gr/kg)

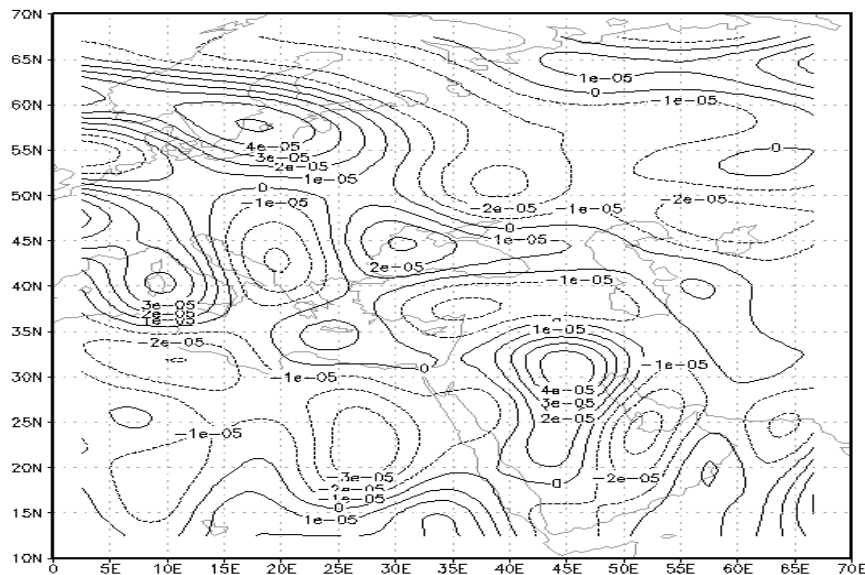




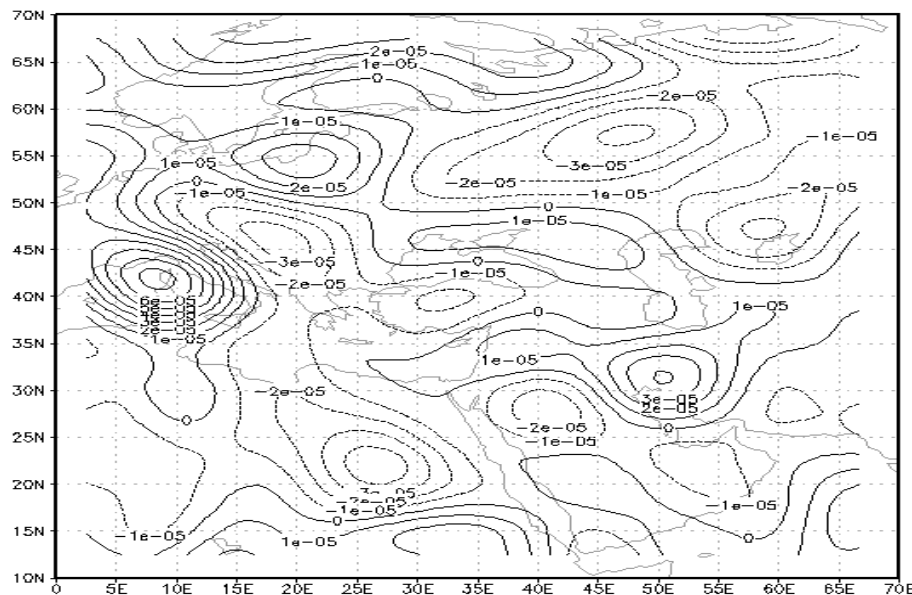
شکل ۸ نقشه رودباد تراز سیصد هکتوپاسکال، تاریخ ۱۳۸۷/۹/۱۰ (m/s)



شکل ۹ نقشه امگای سطح زمین، تاریخ ۱۳۸۷/۹/۱۰ (pascal/s)



شکل ۱۰ نقشه چرخدگی تراز ۸۵۰ هکتوپاسکال، تاریخ ۱۳۸۷/۹/۱۰



شکل ۱۱ نقشه چرخدگی تراز ۸۵۰ هکتوپاسکال، تاریخ ۱۳۸۷/۹/۱۱

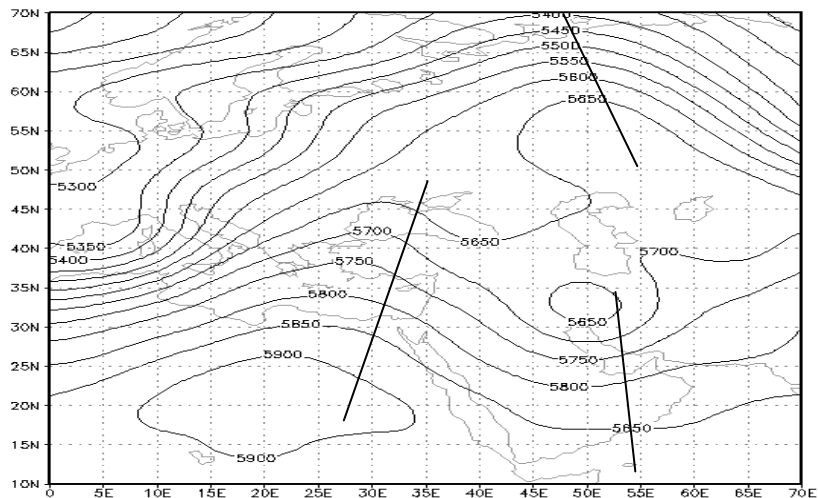
۳-۳- روز اوج بارش (یازدهم آذر ۱۳۸۷)

در روز یازدهم آذر، مرکز کمارتفاگی که روزهای قبل در غرب ایران قرار داشت، از منشأ خود جدا شده و به صورت یک کم فشار بریده درآمده است. این کم فشار بریده کم کم به داخل کشور پیش روی کرده و تا عرض جغرافیایی ۳۲ درجه شمالی پایین آمده است (شکل ۱۲). نقشه سطح دریا نیز نشان می دهد که وجود کم فشار بریده (سردچال) باعث حرکت کند سامانه های جنوب و جنوب غربی روی ایران شده و سبب ادامه بارش ها شده است. سامانه پرفشاری که بر روی شمال دریای خزر و روسیه مستقر بود، قوی تر شده و به علت همراهی یک پشتنه در تراز پانصد هکتوپاسکال، فشار مرکز آن به ۱۰۴۵ هکتوپاسکال رسیده و زبانه های آن نواحی غربی و مرکزی ایران را دربر گرفته است (شکل ۱۳)؛ همچنین در این روز، کم فشار ۱۰۱۵ هکتوپاسکال روز قبل، کاملاً در مرکز ایران مستقر شده و سبب ریزش های قابل توجهی شده است؛ به طوری که در یاسوج $\frac{5}{3}/3$ میلی متر، در شهرکرد $\frac{9}{3}$ میلی متر، در بوشهر $\frac{5}{3}/3$ میلی متر، در کوهرنگ ۳۰ میلی متر و در سمیرم $\frac{3}{3}/3$ میلی متر بارش وجود داشته است (شکل ۱۵). قوی تر شدن مرکز پرفشار واقع بر روی سیبری تا ۱۰۵۰ هکتوپاسکال، باعث ریزش هوای سرد بر روی نیمه شرقی و شمال شرق ایران شده است.

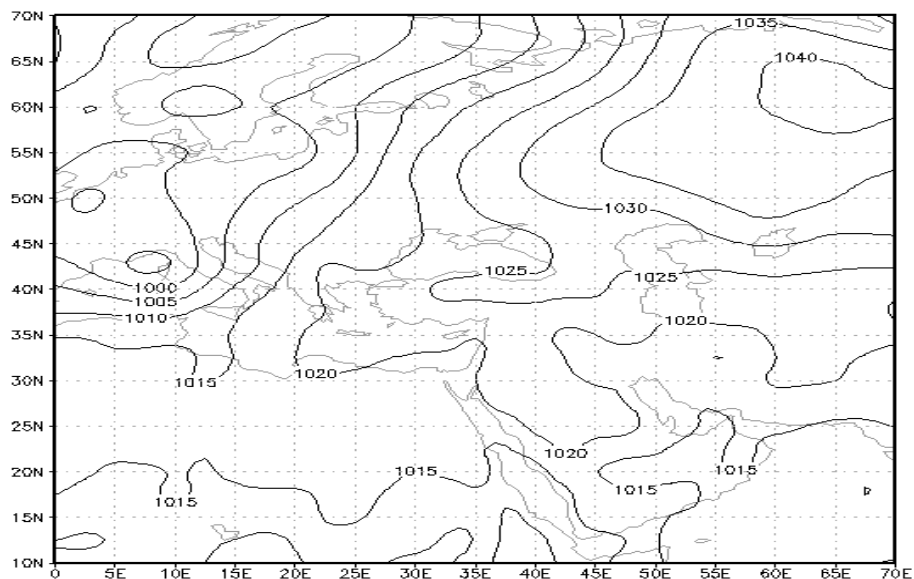
با توجه به نقشه وزش رطوبتی این روز، واخرخند تشکیل شده بر روی عربستان به طرف شرق حرکت کرده و با گردش هوا از روی خلیج عدن و دریای سرخ، رطوبت را از طریق تنگه هرمز و دریای عرب به ایران وارد کرده است (شکل ۱۴)؛ همچنین در این روز، بادها به دو بخش تقسیم شده اند: بخشی از آن به سمت شاخ آفریقا حرکت کرده و بخشی دیگر از طریق تنگه هرمز وارد ایران شده است. نقشه رودباد تراز سیصد هکتوپاسکال نیز نشان می دهد که در روز یازدهم آذر، هسته پرسرتی که در روز گذشته در حال حرکت به سمت شرق بود، جهت غربی- شرقی پیدا کرده و با عبور از روی خلیج فارس، تا شمال تنگه هرمز کشیده شده است (شکل ۱۶). با توجه به نقشه امگای روز یازدهم، هسته سعودی که روز قبل در طول جغرافیایی پنجاه درجه شرقی ایجاد شده بود، به سمت جنوب شرق تغییر مکان داده است. این هسته نیمه شمالی کشور را به طور کامل فراگرفته و تا نواحی مرکزی ایران ادامه یافته است (شکل ۱۷). نقشه چرخندگی تراز ۸۵۰ هکتوپاسکال در روز یازدهم نشان می دهد که



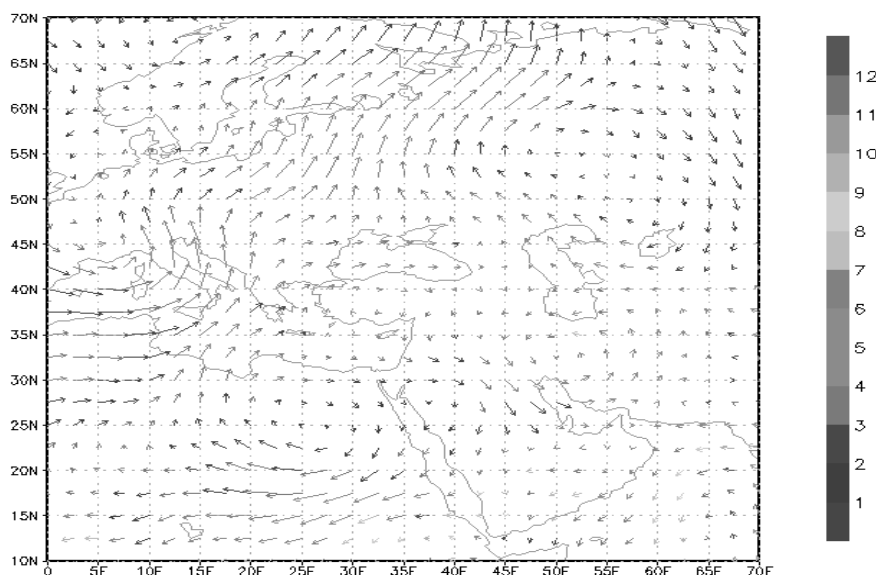
ناهنجری در این تراز در غرب اروپا مثبت است و به طرف شرق، یعنی شرق مدیترانه و شمال دریای سرخ، ناهنجاری منفی را نشان می‌دهد. چرخندگی مثبتی که روز قبل، در جنوب شرق ایران فعالیت می‌کرد، به طور کامل وارد کشور شده و مرکز فعالیت آن به نیمهٔ غربی کشور منتقال یافته است (شکل ۱۱). این منطقه که بر منطقهٔ چرخندگی مثبت سردچال منطبق است، دارای بیشترین ناپایداری و بارش می‌باشد. نیمرخ چرخندگی در عرض سی درجهٔ شمالی، حاکی از ناهنجاری مثبت قوی در طول ۴۵ تا ۵۵ درجهٔ شرقی در تمامی ترازهای جو، به‌ویژه ترازهای بالاتر از هفت‌صد هکتوپاسکال است (شکل ۱۸)؛ همچنین نیمرخ چرخندگی ترسیم شده برای طول ۵۳ درجهٔ شرقی در این روز، ناهنجاری مثبت را از عرض ۲۵ درجهٔ تا ۳۵ درجهٔ شمالی، در بالاتر از تراز ۸۵۰ هکتوپاسکال نشان می‌دهد (شکل ۱۹). شاخص‌های ناپایداری محاسبه شده برای ایستگاه‌های شیراز و اهواز نشان می‌دهند که بیشترین ناپایداری در روز یازدهم آذر رخ داده است؛ به‌طوری که در این روز، شاخص Si عدد ۲ و شاخص Ki عدد ۳۶ را نشان می‌دهد. در روز یازدهم، کلیه ایستگاه‌های نیمهٔ غربی در منطقهٔ مورد مطالعه، دارای بارش می‌باشند و بیشینهٔ بارش به سمت شرق حرکت کرده است. در این روز، ایستگاه یاسوج بیشترین بارش (۵۳/۳ میلی‌متر) را داشته است (شکل ۱۵).



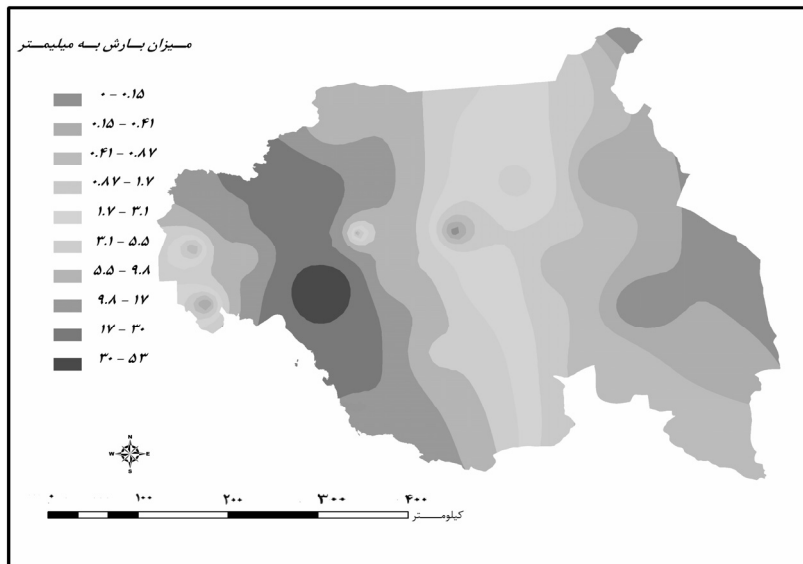
شکل ۱۲ ارتفاع ژئوپتانسیل تراز پانصد هکتوپاسکال، تاریخ ۱۳۸۷/۹/۱۱ (ساعت: ۰۰:۰۰)



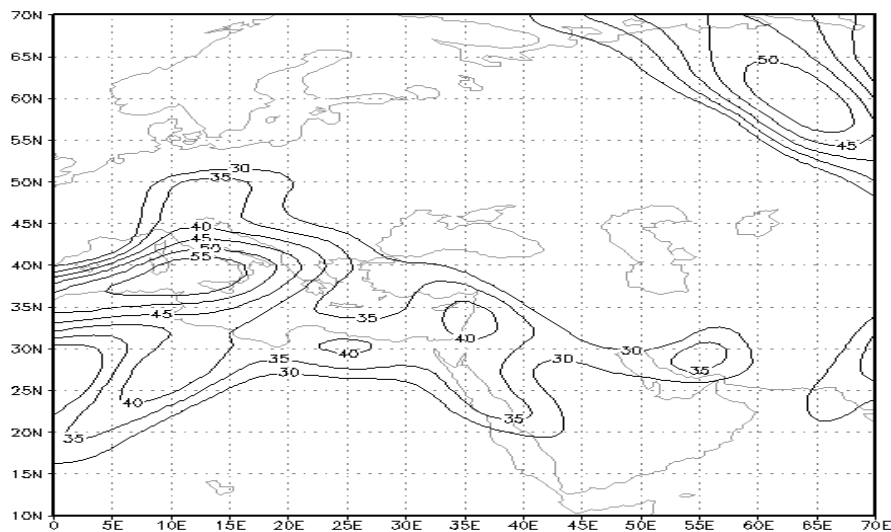
شکل ۱۳ نقشه سطح دریا، تاریخ ۱۳۸۷/۹/۱۱ (ساعت: ۰۰)



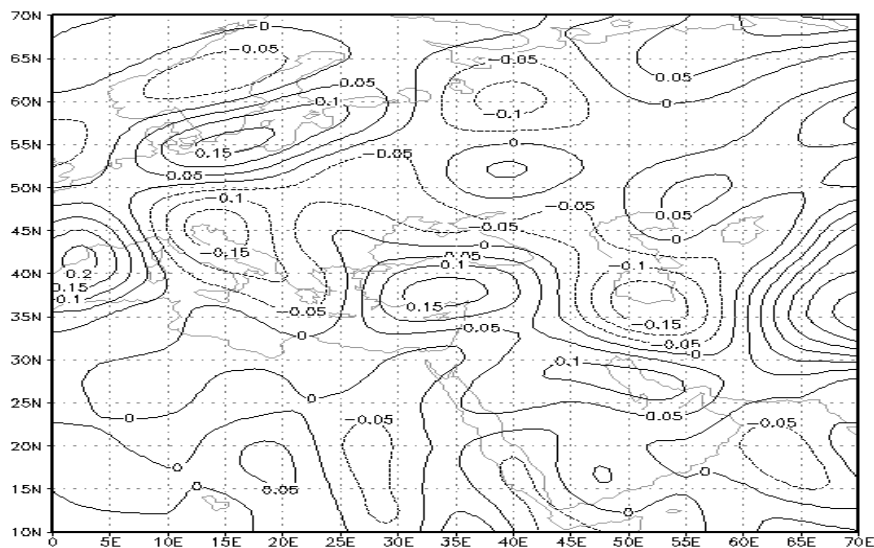
شکل ۱۴ وزش رطوبتی تراز ۸۵۰ هکتوپاسکال، تاریخ ۱۳۸۷/۹/۱۱ (gr/kg)



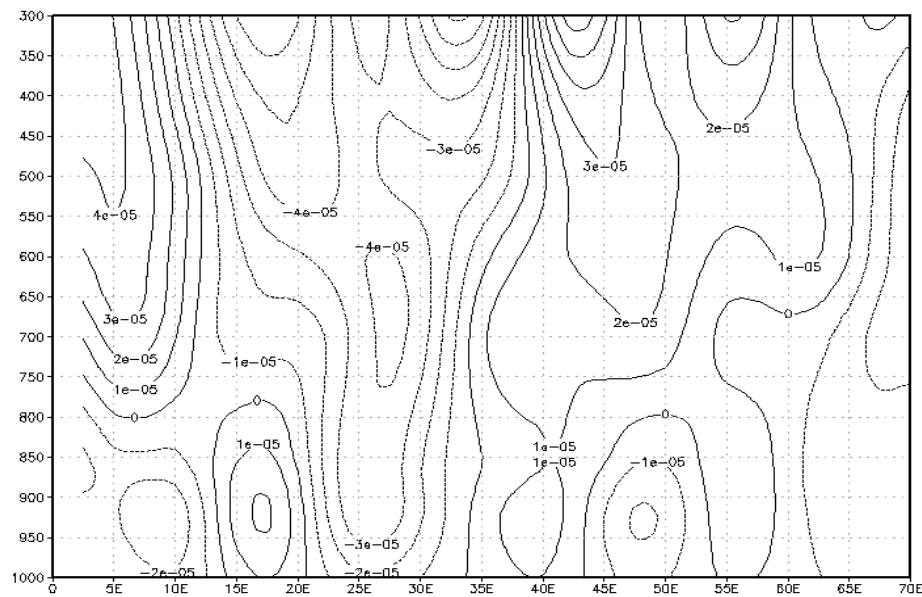
شکل ۱۵ توزیع بارش روز یازدهم آذر ۱۳۸۷ در منطقه مورد مطالعه



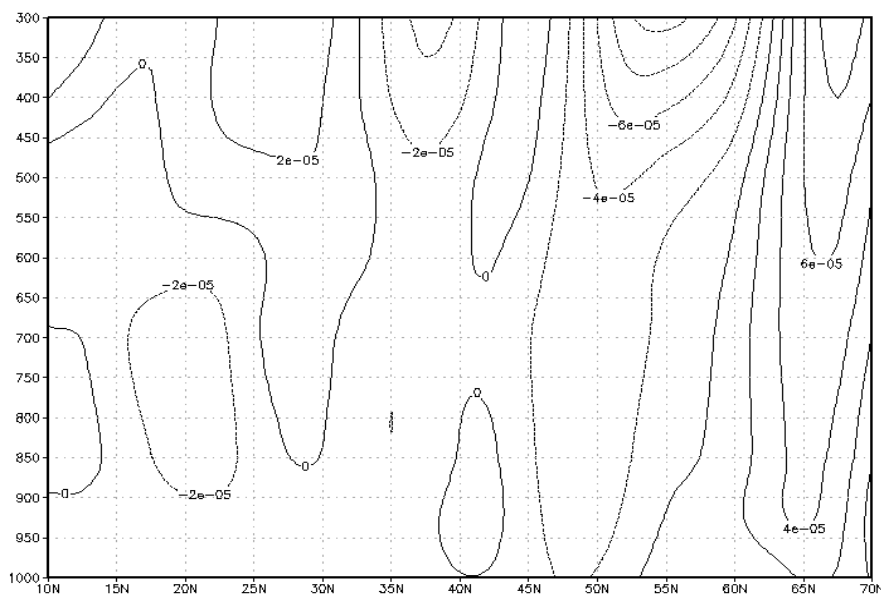
شکل ۱۶ نقشه رودباد تراز سیصد هکتوپاسکال، تاریخ ۱۳۸۷/۹/۱۱ (m/s)



شکل ۱۷ نقشه امگا سطح زمین، تاریخ ۱۳۸۷/۹/۱۱ (pa/s)



شکل ۱۸ نیمروز چرخدنگی برای عرض سی درجه شمالی، تاریخ ۱۳۸۷/۹/۱۱

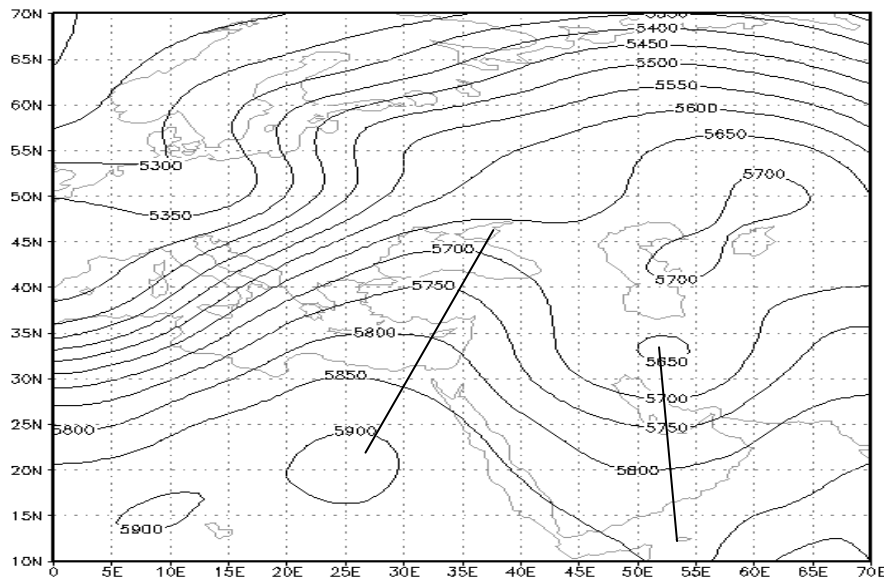


شکل ۱۹ نیم‌رخ چرخدنگی برای طول ۵۳ درجه شرقی، تاریخ ۱۳۸۷/۹/۱۱

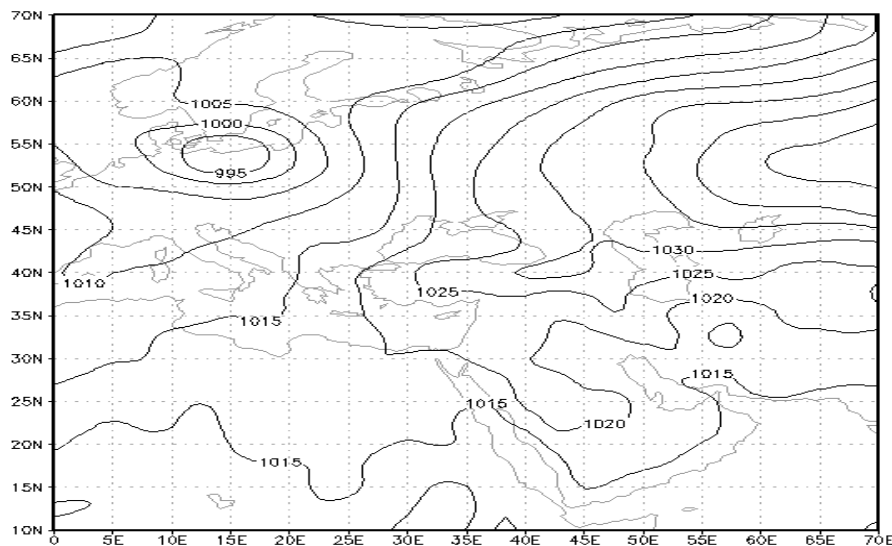
۴-۴- روز افت بارش در نواحی جنوب غرب (دوازدهم آذر ۱۳۸۷)

نقشه سطح پانصد هکتوپاسکال مربوط به این روز (شکل ۲۰) نشان می‌دهد که در غرب ایران، پشتۀ عمیقی تشکیل شده که باعث عمیق‌تر شدن ناآه مستقر بر روی مرکز ایران شده است. در همین زمان، سردچالی که بر روی ایران مستقر شده بود، بیشتر قسمت‌های کشور را فرا گرفته و درنتیجه، شاخۀ جنوبی سامانه غربی از روی خلیج فارس و دریای عمان به قسمت‌های شرقی کشور کشیده شده است. کم‌فشاری که در مرکز ایران مستقر بود، به سمت شرق و شمال شرق حرکت کرده و سبب ادامه بارش‌ها در ایران مرکزی شده است. وضعیت ناپایداری در ایران با توجه به استقرار زبانه‌های سامانه پرفشار در نیمه شمالی کشور، در مقایسه با روزهای قبلی تغییر مکان داده و به نواحی مرکزی رسیده است (شکل ۲۱). شکل ۲۲ نقشه وزش رطوبتی را برای روز دوازدهم آذر در تراز ۸۵۰ هکتوپاسکال نشان می‌دهد. در این روز، منطقه رطوبتی با مقدار دوازده گرم بر کیلوگرم، در مناطق جنوبی دریای سرخ واقع شده است. این منطقه رطوبتی با جهت شمال

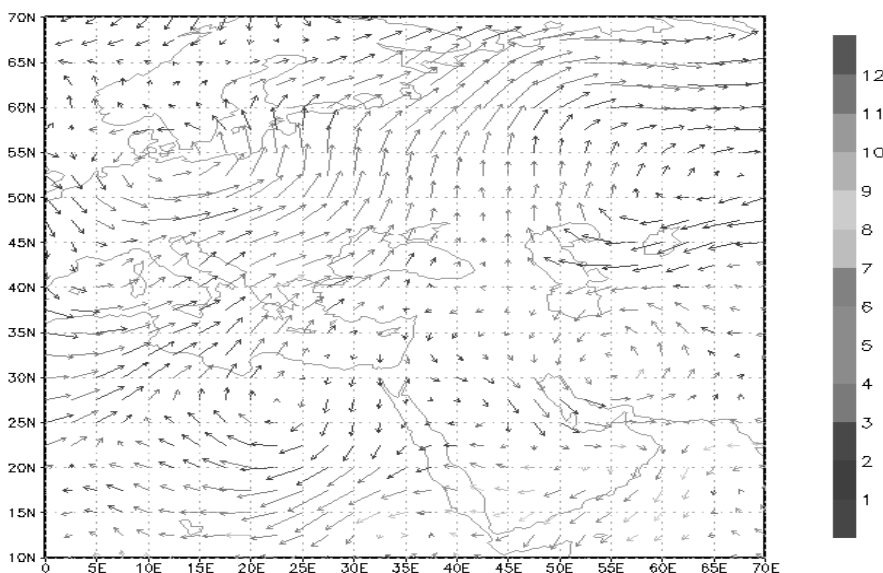
شرقی از روی عربستان گذشته، با گذر از خلیج فارس و دریای عمان تقویت شده و منطقه‌های مرکزی ایران را فراگرفته است (شکل ۲۲). نقشه رودباد مربوط به این روز، دو هسته سرعت را نشان می‌دهد. هسته‌های سرعت با تندی ۵۵ و ۴۰ متر بر ثانیه، به ترتیب بروزی شرق مدیترانه و شمال آفریقا قرار گرفته است. هسته جنوبی در مقایسه با روز قبل عقب‌نشینی کرده و تا شرق دریای سرخ کشیده شده است (شکل ۲۴). در این روز، هسته نزول هوا بر روی منطقه‌های غربی کشور قرار گرفته و تا شمال خلیج فارس ادامه یافته است؛ به طوری که در ایستگاه‌های غربی منطقه مورد مطالعه، هوا کاملاً درحال نزول است و هیچ‌گونه ناپایداری ای صورت نگرفته است؛ با وجود این، هسته صعودی هوا تا تنگه هرمز کشیده شده است (شکل ۲۵). در این روز، مرکز فعالیت چرخندگی مثبت به نواحی مرکزی ایران انتقال یافته و در این مناطق، باعث ایجاد ناهنجاری‌های مثبت شده است. شاخص S_1 برای این روز (-۱) و شاخص K_1 ، سی محاسبه شده است. در این روز، ایستگاه انار $15/4$ میلی‌متر، بافت $9/7$ میلی‌متر، یزد $7/9$ میلی‌متر، کاشان $7/1$ میلی‌متر و اقلید حداقل بارش (هفده میلی‌متر) را دارا بوده است (شکل ۲۳).



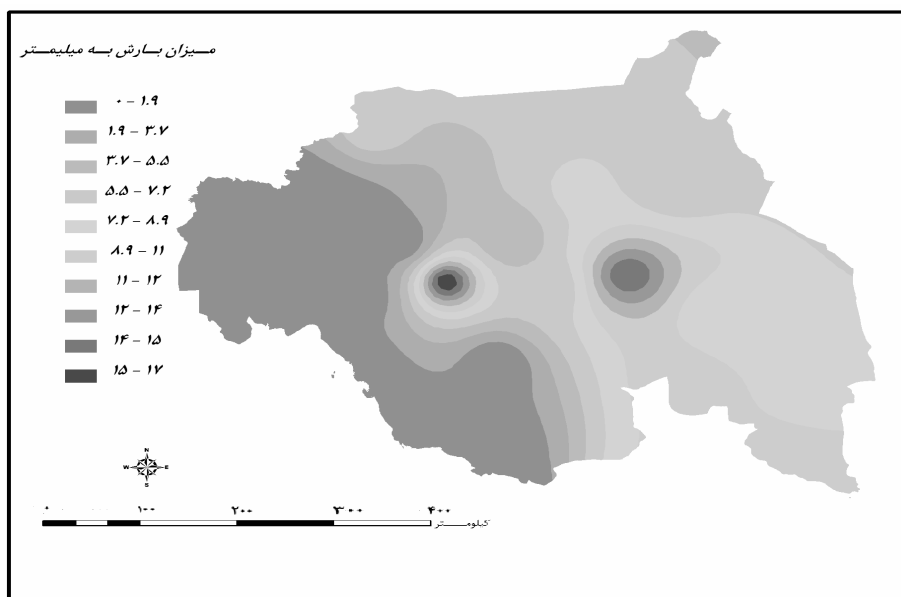
شکل ۲۰ ارتفاع ژئوپتانسیل تراز پانصد هکتوپاسکال، تاریخ ۱۳۸۷/۹/۱۲ (ساعت: ۰۰)



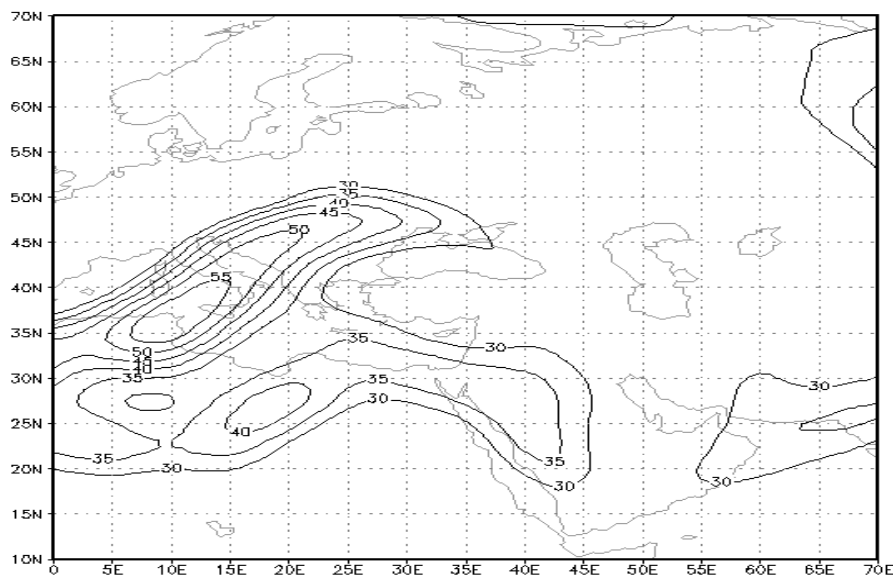
شکل ۲۱ نقشه فشار سطح دریا. تاریخ ۱۳۸۷/۹/۱۲ (ساعت: ۰۰)



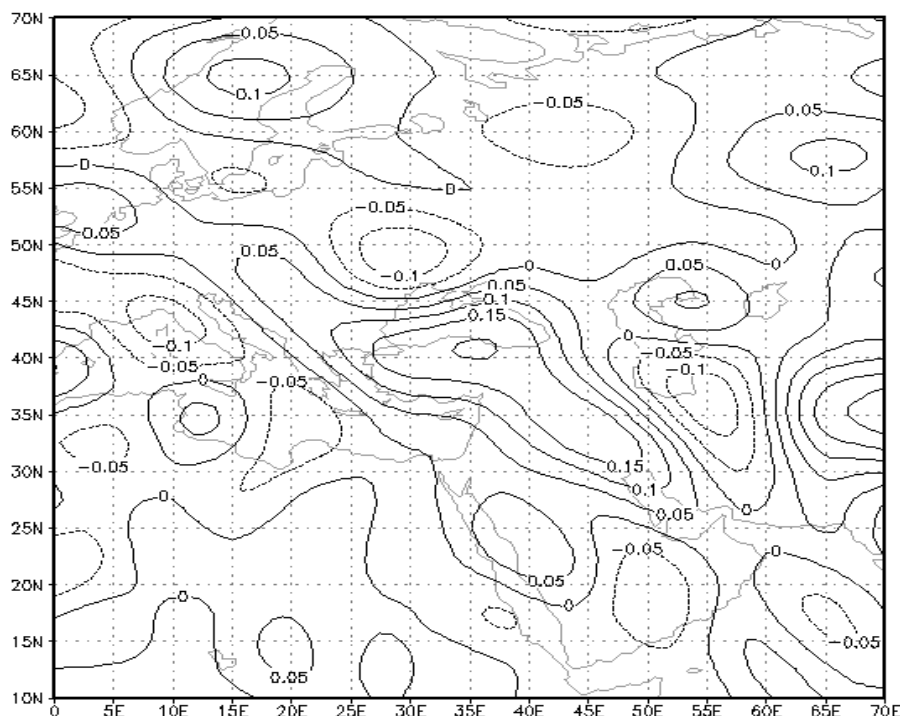
شکل ۲۲ وزش رطوبتی تراز ۸۵۰ هكتوپاسکال. تاریخ ۱۳۸۷/۹/۱۲ (gr/kg)



شکل ۲۳ توزیع بارش روز دوازدهم آذر ۱۳۸۷ در منطقه مورد مطالعه



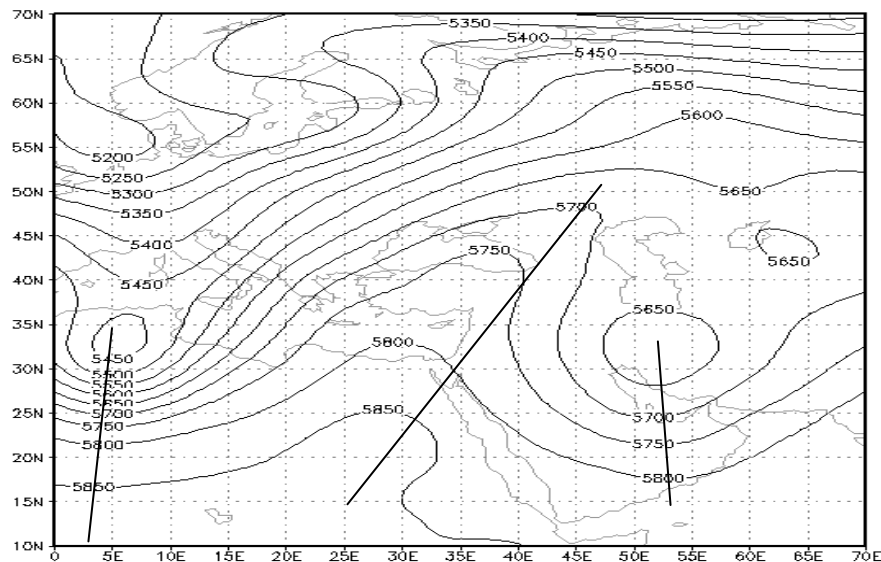
شکل ۲۴ نقشه رودباد تراز سیصد هکتوپاسکال. تاریخ ۱۳۸۷/۹/۱۲ (m/s)



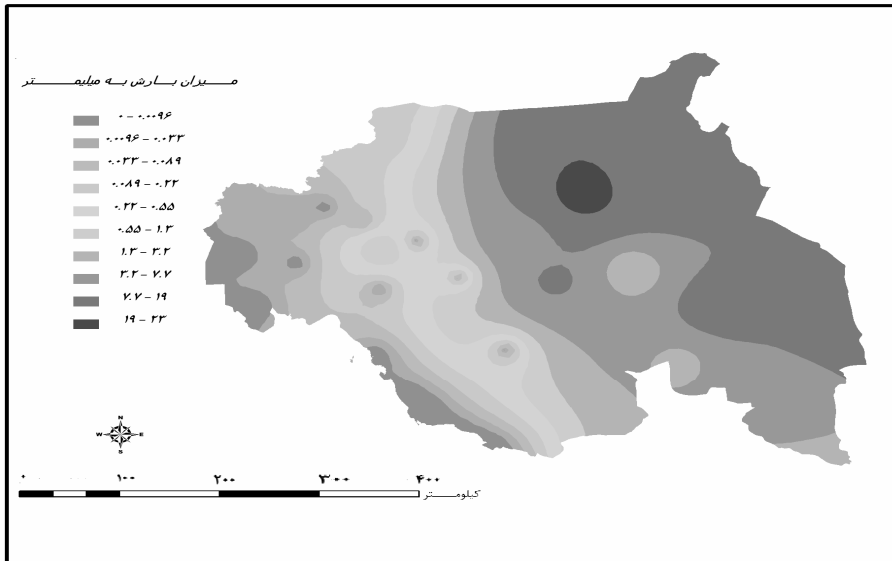
شکل ۲۵ نقشهٔ آمگای سطح زمین. تاریخ ۱۳۸۷/۹/۱۲ (pa/s)

۳-۵- روز شدت بارش در نواحی مرکزی ایران (سیزدهم آذر ۱۳۸۷)

در روز سیزدهم آذر، همان وضعیت روز قبل دیده می‌شود و استقرار سردچال بر روی جنوب دریای خزر و مرکز ایران (شکل ۲۷) سبب ادامه ناپایداری‌ها در نواحی مرکزی ایران می‌گردد. با توجه به نقشهٔ توزیع بارش در این روز (شکل ۲۸)، سامانه‌های غربی به طرف شرق جابه‌جا می‌شوند و ایستگاه یزد دارای بیشینه بارش (۲۳/۲ میلی‌متر) است.



شکل ۲۶ ارتفاع ژئوپتانسیل تراز پانصد هكتوباسکال. تاریخ ۱۳۸۷/۹/۱۳ (ساعت: ۰۰)



شکل ۲۷ توزیع بارش در روز سیزدهم آذر ۱۳۸۷ در منطقه مورد مطالعه



۴- نتیجه‌گیری

از آنجا که برای ایجاد بارندگی‌های شدید، عامل رطوبت مهم‌تر از صعود می‌باشد، شناسایی منابع و منشأ رطوبت بارش‌های شدید، ضروری به نظر می‌رسد. بدین منظور، با بررسی نقشه‌های وزش رطوبتی تراز ۸۵۰ هکتوپاسکال، منشأ و مسیر رطوبت بارش مورد بررسی را شناسایی کردیم. برای درک بهتر سازوکار تزریق رطوبت به منطقه و ایجاد بارش، الگوهای آرایش هم‌فشاری تراز دریا و پربندی تراز پانصد هکتوپاسکال، نقشه‌های چرخندگی سطح ۸۵۰ هکتوپاسکال و نقشه‌های روبداد سطح سیصد هکتوپاسکال مربوط به این بارش را نیز شناسایی کردیم؛ همچنین برای تشخیص مکان صعود هوا و میزان ناپایداری، نقشه‌های امگای سطح زمین برای روزهای بارش را ترسیم و تحلیل کردیم. بارش‌های شدید نواحی مرکز و جنوب غرب، که براساس نقشه‌های سطوح مختلف جو بررسی شده‌اند، بیانگر آن هستند که علت اصلی وقوع بارش در روزهای مورد مطالعه (نهم تا سیزدهم آذر ۱۳۸۷)، ناشی از استقرار چندروزه پدیده سردچال در نواحی جنوب دریای خزر و مرکز ایران است؛ درنتیجه، سامانه‌های باران‌آور غربی در برخورد با این کم ارتفاع، مسیر جنوبی‌تری را انتخاب کرده‌اند و با حرکت بر روی دریای سرخ و سپس خلیج فارس و دریای عمان، مرتکب‌تر شده و از جنوب و جنوب غرب به داخل ایران نفوذ کرده‌اند. با توجه به اینکه در این زمان، زبانه‌های سردچال، قسمت‌های وسیعی از ایران را دربرگرفته‌اند، سامانه مرتکب جنوبی در برخورد با این سردچال، بارش‌های قابل توجهی را در قسمت‌های مرکز و جنوب غربی ایران به وجود آورده است. این بارش تا زمانی ادامه یافته که سردچال بر روی ایران مستقر بوده است. و با ازبین رفتن این سامانه، بارش قطع شده و هوایی پایدار در کشور مستقر گردیده است.

در پژوهش‌های دیگر محققان، بیشتر بر منشأ بارش و منبع رطوبتی آن تأکید شده است. در بیشتر این تحقیقات، منشأ بارش، جریان‌های سودانی و مدیترانه‌ای، و منبع رطوبتی آنها دریای سرخ و مدیترانه تشخیص داده شده است؛ اما پژوهش حاضر بر این اساس انجام شده

که علاوه بر منشأ بارش، ساختار آن نیز درخور توجه است. بدین مظور، سردچال‌های ایجادشده و تأثیر آن بر روی این بارش در مرکز و جنوب غرب ایران را بررسی کردیم که در هیچ‌کدام از تحقیقات گذشته مد نظر قرار نگرفته‌اند. به‌نظر می‌رسد یافته‌های این پژوهش بدان سبب دارای اهمیت است که در آن، برای اولین بار نقش پدیده سردچال در وقوع بارش‌های شدید در نواحی جنوب غرب و مرکز ایران بررسی شده و مؤلفه‌های مؤثر بر انتقال آن بر روی منطقه مورد مطالعه برآورده شده است.

۵- سپاس‌گزاری

نگارندگان بر خود واجب می‌دانند از آقایان دکتر مصطفی کریمی و اردشیر بازدار، و سرکار خانم اقدس اصلانی که در انجام این پژوهش یاریمان کردند، تشکر کنند.

۶- منابع

- حبیبی، فریده (۱۳۸۵). «تحلیل همدیدی و دینامیکی سامانه‌های بنداوی: روش تشخیص سامانه‌های بنداوی و تأثیر آن روی منطقه ایران». *مجله فیزیک زمین و فضا*. ش. ۳. صص ۶۹-۸۹.
- حجازی‌زاده، زهرا (۱۳۷۲). *نوسانات فشار زیاد جنب حاره و اثر آن در تغییر فصل ایران*. رساله دکتری جغرافیای طبیعی. دانشکده علوم انسانی، دانشگاه تربیت مدرس.
- خوشحال دستجردی، جواد (۱۳۷۶). *الگوی سینوپتیک- کلیماتولوژی برای بارش‌های بیش از صد میلی متر در سواحل جنوبی دریای خزر*. رساله دکتری جغرافیای طبیعی. دانشکده علوم انسانی.
- عربی، زهرا (۱۳۸۵). «تحلیل سینوپتیکی بارندگی دوره ۲۱ تا ۲۶ تیرماه ۱۳۷۸ در ایران». *فصلنامه پژوهش‌های جغرافیایی*. ش. ۵۶. صص ۱-۱۵.
- عزیزی، قاسم (۱۳۷۵). *بلوکینگ و اثر آن بر بارش‌های ایران*. رساله دکتری دانشکده علوم انسانی. دانشگاه تربیت مدرس.



- علیجانی، بهلول (۱۳۸۱). *اقلیم‌شناسی سینوپتیک*. تهران: سمت.
- کاویانی، محمد رضا و بهلول علیجانی (۱۳۷۹). *مبانی آب و هواشناسی*. تهران: سمت.
- مرکز پیش‌بینی سازمان هواشناسی کل کشور.
- مفیدی، عباس و آذر زرین (۱۳۸۴). «بررسی سینوپتیکی تأثیر سامانه‌های کم فشار سودانی در وقوع بارش‌های سیل‌آسا در ایران». *فصلنامه تحقیقات جغرافیایی*. ش. ۷۷. صص ۱۱۳-۱۳۶.
- مفیدی، عباس (۱۳۷۹). *بررسی سینوپتیکی نقش دریای سیاه بر بارش‌های ایران*. پایان نامه کارشناسی ارشد. دانشگاه آزاد. واحد علوم و تحقیقات.
- Beltramdo. G. and P. Camberlin (1993). «Intrnnual Variability of Rainfall in the Eastern Horn of Africa & Indicators of Atosheric Circulation». *Int. J. Climatol.* Vol 13. 533-546.
- Delden.Van Aarnour (2001). «The Synoptic Setting of Thunderstorms in Western Europe». *Atmospheric Research*. Vol 56. Pp 89- 110.
- Faiers. G. E (1988). «A Synoptic Weather Type Analysis of January Hourly Precipitation at Lake Charls». *Louisiana, Phys. Geogra.* Vol 8. 99-119.
- Homar.v, Gaya.M. and C. Ramis (2001). «A Synoptic and Mesoscale Diagnosis of a Tornado Autbreak in the Balearic Islands». *Atmospheric Research*. vol 56. pp 31-55.
- Keables, M.J (1989). «A Synoptic Climatology of Bimodal Precipitation Distribution in the Upper Midwest». *J.Climato*. Vol 2. 1289-1294.
- Kodama. Kevin Gary.M, Barnes. (1997). «Heavy Rain Events over the South- Facing Slopes of Hawaii: Attendant Conditions». *Weather and Forecasting*. Vol 12. Pp 347- 367.

- Wang Xinmin, Zhai Panmao, Wang Cuicui (2009). «Variations in Extrropical Cyclon Activity in Northern East Asia». *Journal of Atmospheric Sciences*. Vol 26. No 3, pp 471- 479.
- Yama. Kai (1998). «A Synoptic Overview of Heavy Rain Event in Soutern China». *Weather and Forecasting*. Vol 2. pp 89-112.